

УДК 538.1

© 1990

## ФАЗОВАЯ ДИАГРАММА СОСТОЯНИЙ ДОМЕННОЙ ГРАНИЦЫ В ФЕРРОМАГНИТНОЙ ПЛЕНКЕ ВО ВНЕШНЕМ МАГНИТНОМ ПОЛЕ

Ю. А. Димашко, П. П. Шатский, Д. А. Яблонский

Построена фазовая диаграмма состояний доменной границы (ДГ) в ферромагнитной пленке во внешнем магнитном поле. Показано, что на фазовой диаграмме существуют области, в которых ДГ не имеет устойчивых одномерных состояний. Рассмотрена эволюция ДГ в магнитном поле. Переход через области неоднородного состояния может привести к зарождению субдомениной структуры.

1. Внешнее однородное магнитное поле, ортогональное направлению намагниченности в доменах, почти не изменяя состояния доменов, может изменять симметрию ДГ, ее структуру и геометрию [1-3], т. е. приводить к фазовым переходам в ДГ.

В настоящей работе построена фазовая диаграмма состояний ДГ в ферромагнитной пленке (ФМП) во внешнем магнитном поле с учетом неустойчивости плоской ДГ относительно изгибной деформации ее структуры.<sup>1</sup>

2. Энергия ромбического ферромагнетика во внешнем магнитном поле определяется следующим выражением:

$$E = \int \left[ A \left( \frac{\partial \mathbf{m}}{\partial x_i} \right)^2 - K m_x^2 + \beta m_x^2 - M \mathbf{m} \mathbf{H} \right] dr + \frac{M^2}{2} \int \operatorname{div} \mathbf{m}(\mathbf{r}) \operatorname{div} \mathbf{m}(\mathbf{r}') \frac{d\mathbf{r} d\mathbf{r}'}{|\mathbf{r} - \mathbf{r}'|}, \quad (1)$$

где  $A$  — константа неоднородного обменного взаимодействия;  $K > 0$ ;  $\beta$  — константы одноосной и ромбической анизотропии;  $\mathbf{m} = \mathbf{M}/M$  — единичный вектор в направлении вектора намагниченности  $\mathbf{M}$ ;  $M$  — намагниченность насыщения;  $\mathbf{H} = (H_x, H_y, 0)$  — внешнее магнитное поле; последнее слагаемое — энергия магнитодипольного взаимодействия.

Мы будем исследовать изолированную ДГ в ферромагнитной пленке типа «легкая ось в плоскости ФМП» во внешнем магнитном поле  $\mathbf{H}$ . Вначале определим основные состояния исследуемой ДГ и области устойчивости этих состояний, полагая, что ДГ незаряжена (нормальная к ДГ компонента вектора намагниченности  $\mathbf{M}$  в доменах не имеет разрыва на поверхности ДГ) и одномерна (направление вектора намагниченности  $\mathbf{M}$  в ДГ зависит только от нормальной к поверхности ДГ координаты  $\xi$ ).

Как показано в [4], во внешнем магнитном поле, параллельном плоскости ДГ и имеющем составляющую вдоль поляризации ДГ, при переходе метастабильной блоховской ДГ в стабильную более выгодна неоднородная деформация структуры ДГ, чем однородная. Для учета возможности неоднородной деформации ДГ мы исследуем спектр изгибных колебаний ДГ.

<sup>1</sup> Рассматривается ситуация, когда толщина магнитной пленки значительно больше толщины доменной границы.

Взаимное расположение ФМП, ДГ и используемых систем координат показано на рис. 1.

3. Пусть  $Q = K/2\pi M^2 \gg 1$ ,  $K/|\beta| \gg 1$ ,  $K/MH \gg 1$ .<sup>2</sup> Тогда можно считать [2], что структура ДГ в основном формируется одноосной анизотропией и неоднородным обменом, т. е. координатная зависимость полярного угла  $\theta$  вектора  $\mathbf{m}$  определяется обычным выражением

$$\theta = \theta_0(\xi) = 2 \operatorname{arctg} \exp(-\xi/\Delta),$$

где  $\Delta$  — толщина ДГ.

Подставив  $\theta$  в (1), после интегрирования по переменной  $\xi$  и минимизации по толщине ДГ определим плотность энергии  $\sigma$  ДГ в магнитном поле  $\mathbf{H}$  при произвольной ориентации плоской ДГ относительно кристаллографических осей [2].

При изменении ориентации ДГ в ФМП изменяется также и площадь ДГ. Поэтому в полную энергию ДГ будет входить множитель  $\cos^{-1} \psi$ , учитывающий это изменение. Так как увеличение площади ДГ существенно увеличивает ее энергию, то  $\psi \ll 1$  (ниже будет показано, что  $\psi \sim Q^{-1}$ ).

С учетом вышесказанного энергия плоской ДГ в ФМП в магнитном поле  $\mathbf{H}$  с точностью до слагаемых первого порядка малости по  $Q^{-1}$  и второго по  $\psi$  равняется

$$E = E_0 \left\{ 1 + \frac{1}{2Q} \left[ (\rho + 1) \cos^2 \varphi + \psi \sin 2\varphi - \frac{1}{4M} (H_x \cos \varphi + H_y \sin \varphi) + Q\psi^2 \right] \right\}, \quad (2)$$

где  $E_0 = \sigma_0 S_0$ ,  $\sigma_0 = 4\sqrt{AK}$ ,  $S_0$  — площадь поперечного сечения ФМП,  $\rho = \beta/2\pi M^2$ .

Минимизируя (2) по  $\psi$ , определим вначале равновесное значение  $\psi$ , а затем, подставляя полученное значение в (2), найдем энергию ДГ, которая выражается только через переменную  $\varphi$ . В результате имеем

$$\psi = -\sin 2\varphi/2Q, \quad (3)$$

$$E = E_0 \left\{ 1 + \frac{1}{2Q^2} [B + \sin^4 \varphi - (1 + B) \sin^2 \varphi - (h_x \cos \varphi + h_y \sin \varphi)] \right\}, \quad (4)$$

где

$$B = Q(1 + \rho), \quad \mathbf{h} = (\mathbf{H}/4M) Q.$$

В поле  $\mathbf{h} = 0$  основные состояния перечислены в работе [5]. В общем случае ( $\mathbf{h}$  отлично от нуля) равновесные состояния определяются уравнением

$$h_x \sin \varphi - h_y \cos \varphi = \sin 2\varphi (B + \cos 2\varphi). \quad (5)$$

Линии лабильности этих состояний в параметрической форме имеют следующий вид:

$$h_x = 2 \cos^3 \varphi (6 \cos^2 \varphi + B - 5), \quad h_y = 2 \sin^3 \varphi (6 \sin^2 \varphi - B - 5). \quad (6), (7)$$

Отметим, что (6), (7) определяют линии потери устойчивости ДГ относительно однородных деформаций ее структуры.

Линии фазовых переходов первого рода ФПП мы выпишем при описании фазовых диаграмм, используя результаты работы [6], так как (4) формально совпадает с потенциалом, исследованным в [6].

<sup>2</sup> Последнее из трех неравенств разрешает пренебречь изменением состояния доменов.

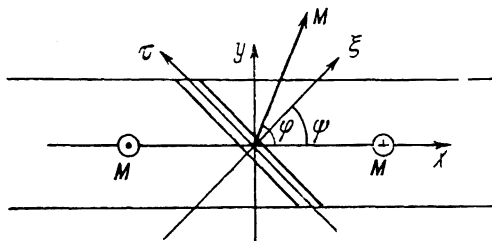


Рис. 1. Положение доменной границы в ферромагнитной пленке, системы координат.

4. Спектр  $\omega(\mathbf{k})$  длинноволновых изгибных колебаний плоской ДГ определим вблизи состояния  $\psi = \psi_0$ ,  $\varphi = \varphi_0$ . Используя результаты работы [4], можно показать, что  $\omega(\mathbf{k})$  представляется выражением

$$\omega(\mathbf{k})/\omega_M = \eta k \Delta \sin \varphi_k \cos 2(\varphi_0 - \psi_0) + \sqrt{H_1 H_2 + H_3^2}, \quad (8)$$

где

$$H_1 = \frac{A}{2\pi M^2} k^2 - \rho \cos 2\varphi_0 + \frac{1}{8M} (H_x \cos \varphi_0 + H_y \sin \varphi_0) - \\ - \cos 2(\varphi_0 - \psi_0) + \frac{\pi^2}{4} k [\cos 2(\varphi_0 - \psi_0) - \cos^2(\varphi_0 - \psi_0) \cos^2 \varphi_k], \\ H_2 = \frac{A}{2\pi M^2} k^2 + k \Delta \cos^2 \varphi_k, \quad H_3^2 = \frac{\pi^2}{64} (k \Delta)^2 \sin^2 2\varphi_k \cos^2(\varphi_0 \psi_0),$$

$\omega_M = 4\pi\gamma M$ ,  $\gamma$  — гиромангнитное отношение,  $\eta = 1/2 \int (dm_z/d\xi) d\xi$  — топологический заряд ДГ,  $k = \sqrt{k_x^2 + k_y^2}$ ,  $\sin \varphi_k = k_z k^{-1}$ .

Характерными особенностями спектра (8), как и в [4], являются его асимметрия ( $\varphi_k \neq 0$ ,  $\pi$ , т. е.  $k_z \neq 0$ ) и возможность обращения в нуль частоты при  $k \neq 0$  (в данном случае при изменении внешнего магнитного поля или ромбической анизотропии).

Необходимым и достаточным условием устойчивости стационарного состояния являются соотношения  $\text{Re } \omega(\mathbf{k}) \geq 0$ ,  $\text{Im } \omega(\mathbf{k}) \leq 0$ .

5. Выражение (8) представляет собой спектр изгибных колебаний плоской ДГ при произвольной равновесной ориентации ее поверхности относительно кристаллографических осей. Вектор намагниченности, характеризующий состояние ДГ, также имеет произвольное направление.

В рассматриваемой задаче связь между равновесными значениями  $\psi_0$  и  $\varphi_0$  определяется (3). С учетом этого выражения находим условия изгибной устойчивости плоской ДГ в ФМП относительно деформаций с  $\mathbf{k} = (0, k_x, 0)$

$$\frac{1}{2} (h_x \cos \varphi_0 + h_y \sin \varphi_0) - B \cos 2\varphi_0 + \sin^2 2\varphi_0 - (1 + \pi^2/64) \cos^2 2\varphi_0 \geq 0, \quad (9)$$

с  $\mathbf{k} = (0, 0, k_z)$

$$\frac{1}{2} (h_x \cos \varphi_0 + h_y \sin \varphi_0) - B \cos 2\varphi_0 + \sin^2 2\varphi_0 - \pi^2/64 \cdot \sin^4 \varphi_0 \geq 0. \quad (10)$$

Возможна также неустойчивость ДГ относительно деформаций ее структуры с  $\mathbf{k} = 0$  и  $\mathbf{k} = (0, k_x, k_z)$ . Первая из этих деформаций учтена написанными уравнениями, так как является их частным случаем, а вторая, как показывает расчет, не влияет на вид исследуемых фазовых диаграмм. Поэтому соответствующие условия здесь не приводятся.

При строгом выполнении неравенств (9), (10) спектр имеет вид (рис. 2, а, в), а при выполнении равенства происходит касание оси  $k_x$  или  $k_z$  в точках  $|k_{x0}| = (-\pi^2/8Q\sqrt{\Delta}) \cos 2\varphi_0$  и  $|k_{z0}| = (\pi^2/8Q\sqrt{\Delta}) \sin^4 \varphi_0$  соответственно (рис. 2, б, г), т. е. плоская ДГ становится изгибно неустойчивой.<sup>3</sup>

Объединяя результаты п. 3 и 5, мы сможем построить фазовые диаграммы состояний ДГ в ФМП.

<sup>3</sup> Касание осей  $k_x$  и  $k_z$  может иметь место и в начале координат, при этом возникает однородная неустойчивость ДГ.

6. Фазовая  $h_x$ - $B$ -диаграмма (рис. 3). Основные состояния ДГ задаются уравнением (5). Линия ФП представляет собой часть оси  $B$  ( $B \leq 1$ ). При  $B < -1$  она разделяет состояния неелевской ДГ, отличающиеся поляризацией. Если  $|B| < 1$ , то линия ФП является линией перехода между «косыми» фазами.

Линиями фазового перехода второго рода (ФПІ) являются части прямых  $h_{x1}(B) = \pm 2(B+1)$  ( $B \geq -1$ ).

Рассмотрим эволюцию ДГ в поле  $h_x$ , начиная с  $h_x = 0$ , при различных фиксированных значениях параметра  $B$ .

Метастабильная неелевская ДГ на линии  $h_x = h_{x1}(B)$  теряет устойчивость и в результате однородного отклонения вектора намагниченности переходит в стабильную неелевскую ДГ ( $B < -5$ ) или метастабильную

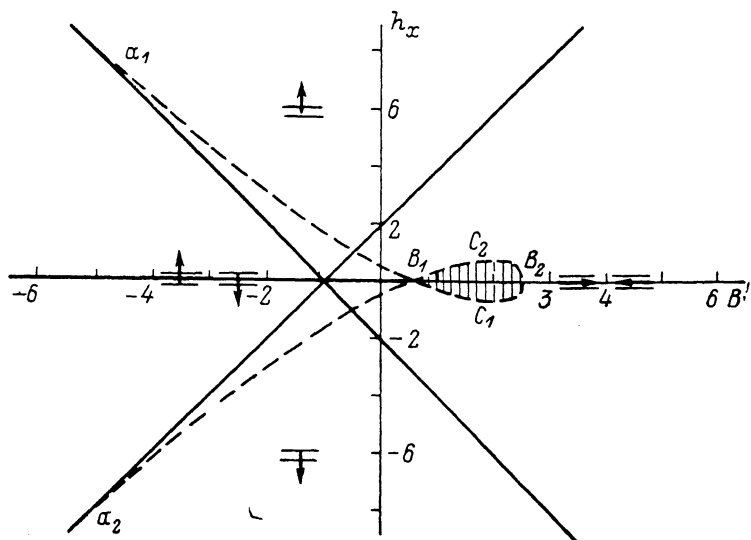


Рис. 3. Фазовая  $h_x$ - $B$ -диаграмма.

Жирная сплошная линия — ФП, тонкая — ФПІ, штриховая — потери устойчивости доменной границы относительно как однородной, так и неоднородной деформации ее структуры.

«косую» ДГ ( $-5 < B < -1$ ), которая в свою очередь при дальнейшем монотонном изменении  $h_x$  также теряет устойчивость и переходит в стабильную неелевскую ДГ. (Линию потери устойчивости метастабильной «косой» ДГ мы обсудим ниже).

Состояние «косой» фазы ( $h_x = 0$ ) четырехкратно вырождено. Поле  $h_x$  частично снимает вырождение этой фазы — ДГ становятся попарно эквивалентны (две «косые» ДГ стабильные, а две другие метастабильные).

Стабильная «косая» ДГ на линии  $h_x = h_{x1}(B)$  в результате ФПІ переходит в стабильную неелевскую ДГ. Отметим, что вектор намагниченности отклоняется при этом однородным образом.

Метастабильная «косая» ДГ при изменении  $h_x$  в результате потери изгибной устойчивости переходит в стабильную неелевскую ДГ ( $-1 < B < -0.5$ ) или в стабильную «косую» ДГ ( $-0.5 < B < B_1 = 16/\pi^2 - 1$ ).

Магнитное поле  $h_x$  не снимает вырождения блоховской ДГ. При изменении  $h_x$  оба типа этих ДГ эволюционируют одинаково: вектор намагниченности однородно отклоняется от поверхности ДГ и при  $h_x = h_{x1}(B)$  обе ДГ путем ФПІ переходят в стабильную неелевскую ДГ.

Рассмотрим теперь структуру линии  $a_1 B_1 a_2$  с петлями  $B_1 c_1 B_2 c_2$ . Часть этой линии соответствует потере устойчивости метастабильной «косой» ДГ, причем при  $-5 < B < -3.1$  она формируется соотношениями (6), (7), т. е. в этом интервале значений параметра  $B$  метастабильная «косая» ДГ неустойчива относительно однородной деформации. Если же  $-3.1 < B < B_1$ , то эта линия формируется (5), (10) и соответствует неустойчивости структуры метастабильной «косой» ДГ с  $k = (0, 0, k_z)$ .



стабильная «косая» ДГ на линии  $cd$ , формируемой (6), (7), переходит в стабильную «косую» ДГ. При других значениях параметра  $B$  рассматриваемая ДГ при изменении  $h_y$  переходит в неоднородную ДГ. Причем переход в неоднородное состояние осуществляется как на линии потери однородной устойчивости (участок  $dc_1$ ), так и на линии потери неоднородной устойчивости (участок  $c_1B_1$ ).

Поле  $h_y$  снимает вырождение блоховской фазы. Метастабильная блоховская ДГ на линии  $h_y = h_{y1}(B)$  теряет устойчивость относительно деформации по  $k_z$  и переходит в устойчивую блоховскую ДГ.

8. Мы закончили построение фазовых диаграмм ДГ в ФМП. В результате указаны области значений параметров, в которых описание ДГ одномерной моделью недопустимо. Неоднородные ДГ и их эволюция в магнитном поле требуют отдельного исследования. Но уже можно отметить, что зарождение субдоменной структуры в ДГ аналогично зарождению доменной структуры в ферромагнитной пленке [7].

#### С п и с о к л и т е р а т у р ы

- [1] Хуберт А. Теория доменных стенок в упорядоченных средах. М.: Мир, 1977. 306 с.
- [2] Малоземов А., Слоузуски Дж. Доменные стенки в материалах с цилиндрическими магнитными доменами. М.: Мир, 1982. 382 с.
- [3] Богданов А. Н., Телера В. П., Шатский П. П., Яблонский Д. А. // ЖЭТФ. 1986. Т. 90. № 5. С. 1738—1747.
- [4] Димашко Ю. А., Шатский П. П., Яблонский Д. А. // ФТТ. 1988. Т. 30. № 10. С. 3084—3090.
- [5] Димашко Ю. А., Шатский П. П., Яблонский Д. А. // ФТТ. 1989. Т. 31. № 8. С. 164—168.
- [6] Барьяхтар В. Г., Богданов А. Н., Яблонский Д. А. // ФТТ. 1987. Т. 29. № 1. С. 116—121.
- [7] Барьяхтар В. Г., Иванов Б. А. // ЖЭТФ. 1977. Т. 72. № 4. С. 1504—1516.

Донецкий физико-технический институт АН УССР  
Донецк

Поступило в Редакцию  
7 августа 1989 г.  
В окончательной редакции  
20 ноября 1989 г.